

## TDO3 : Trous d'Young : exemple de dispositif interférentiel par division du front d'onde

### Savoirs

- Trous d'Young ponctuels dans un milieu non dispersif : source ponctuelle à grande distance finie et observation à grande distance finie. Champ d'interférences. Ordre d'interférences  $p$ . Franges d'interférences.
- Variations de  $p$  avec la position d'un point source ; perte de contraste par élargissement spatial de la source.
- Variations de  $p$  avec la longueur d'onde. Perte de contraste par élargissement spectral de la source.
- Observations en lumière blanche (blanc d'ordre supérieur, spectre cannelé).
- Cas des fentes d'Young en montage de Fraunhofer.

### Interro de cours

1. Donner l'ODG typique des diamètres des trous et de leur espacement.
2. Trous d'Young : que devient la figure d'interférence si le diamètre des trous augmente ? Et si leur espacement augmente ?
3. Même question pour les fentes d'Young.
4. Pour une source monochromatique centrée : donner l'expression de la différence de marche, ordre d'interférence, interfrange (pour  $n_m = 1$  ou non).
5. Que se passe-t-il si on déplace la source perpendiculairement à  $S_1S_2$  ?
6. Que se passe-t-il si on déplace la source parallèlement à  $S_1S_2$  ?
7. Donner le critère semi-quantitatif de brouillage sur  $p$  par élargissement de la source.
8. Qu'appelle t-on cohérence spatiale ?
9. Les franges sont-elles plus larges pour une lumière violette ou jaune ?
10. Donner le critère semi-quantitatif de brouillage sur  $p$ , ou avec  $L_c$ , par élargissement spectral.
11. Qu'appelle t-on cohérence temporelle ?
12. Que devient la figure en lumière blanche ?
13. Faire un schéma du montage de Fraunhofer pour des fentes d'Young.
14. Donner la différence de marche dans le cas du montage de Fraunhofer pour des fentes d'Young.

### Savoir-faire

- Montage des trous d'Young sans ou avec lentilles : démo et utilisation de  $\delta = nax/D$  et  $i = \lambda_0 D/na$  (et variantes avec  $f'$  pour fentes d'Young). Définir, déterminer et utiliser l'ordre d'interférences. *Tous les exos.*
  - ex1 : Cas  $a = 0,20$  mm,  $D = 2,0$  m,  $d = 0,50$  m,  $\lambda_0 = 589$  nm. Déterminer l'état d'interférence (constructive/destructive/intermédiaire) sur l'écran à distance  $x = 1$  cm du centre en justifiant par le calcul d'ordre d'interférence.
- Déplacement de la source : démo du décalage des franges  $x_S = -Dx_S/d$ . Interprétation du sens du décalage.
- Utiliser le critère semi-quantitatif de brouillage des franges  $|\Delta p| > 1/2$  (où  $|\Delta p|$  est évalué sur la moitié de l'étendue spatiale de la source) pour interpréter des observations expérimentales sur la cohérence spatiale. *Cf cours.*
  - ex2 : Pour  $d = 40$  cm,  $\lambda_0 = 546,1$  nm,  $a = 0,10$  mm. Quelle est la largeur maximale de la fente source pour éviter le brouillage des franges ?
  - ex3 : Le Soleil est de diamètre  $1,4 \cdot 10^6$  km à distance  $1,5 \cdot 10^{11}$  m de la Terre. Peut-il produire des interférences à travers des trous d'Young distants de  $0,1$  mm ?
- Utiliser le critère semi-quantitatif de brouillage des franges  $|\Delta p| > 1/2$  (où  $|\Delta p|$  est évalué sur la moitié de l'étendue spectrale de la source) pour interpréter des observations expérimentales sur la cohérence temporelle. Relier la longueur de cohérence,  $\Delta\lambda$  et  $\lambda$  en ordre de grandeur. *Exo 5.*
  - ex4 : Considérons une diode électro-luminescente (LED)  $\lambda_0 = 660$  nm,  $\Delta\lambda = 25$  nm. Quelle est la taille de la zone sur l'écran sans brouillage ? On prendra  $D = 2,0$  m,  $a = 0,10$  mm.

- Déterminer les longueurs d'ondes des cannelures dans un blanc d'ordre supérieur. *Exo 6.*

*ex5 : Trous d'Young  $a = 0,10$  mm,  $D = 1,0$  m. Observation en  $M$  à  $x = 5$  cm du centre. Déterminer toutes les longueurs d'onde du domaine visible interférant destructivement en  $M$ .*

## 1 Trous d'Young - exo de cours

On considère le montage classique des trous d'Young à distance finie : on note  $a$  la distance entre les deux trous,  $d$  la distance entre la source  $S$  et le plan (P) des trous et  $D$  la distance entre le plan (P) et l'écran (E). La source  $S$  est monochromatique, de longueur d'onde  $\lambda$ , centrée sur l'axe de symétrie du système. On donne  $D = 1,0$  m,  $\lambda = 0,500$   $\mu\text{m}$ .

1. Faire un schéma du montage.
2. (a) Déterminer la différence de marche entre les deux rayons arrivant en un point  $M$  de l'écran ( $M$  est supposé être au voisinage du centre  $O$  de l'écran)?  
(b) En déduire l'interfrange  $i_0$  et l'intensité  $I(M)$  au point  $M$ . Tracer  $I(x)$ .  
(c) Dans l'air assimilé au vide, on mesure l'interfrange  $i_0 = 2,0$  mm. En déduire la valeur de  $a$ .
3. Le dispositif est intégralement plongé dans de l'eau d'indice  $n = 1,33$ . Quelle est l'expression et la valeur du nouvel interfrange  $i$ ?
4. On remet le dispositif dans l'air, mais un des deux trous est partiellement bouché, ce qui fait qu'il ne laisse passer que 50% de l'intensité incidente. On suppose que ce problème ne provoque pas de déphasage supplémentaire. Qu'y a-t-il de modifié par rapport à la question 2? Tracer à nouveau  $I(x)$ . Commenter.

## 2 Mesure d'indice d'une lame

Pour un montage de trous d'Young typique :  $a = 0,20$  mm,  $D = 2,0$  m,  $d = 0,50$  m,  $\lambda_0 = 545$  nm. Quand on ajoute une lame d'épaisseur  $e = 0,10$  mm d'indice  $n$  sur le trajet passant par le trou  $S_1$ , dans quel sens se décalent les franges? On observe qu'au centre de l'écran ont défilé 95,5 franges lors de l'ajout de la lame. En déduire son indice  $n$ .

## 3 Interféromètre de Rayleigh

L'interféromètre de Rayleigh (dérivé de celui d'Young) est représenté sur la figure 21. La source  $S$  ponctuelle monochromatique de longueur d'onde  $\lambda = 589$  nm est placée au foyer objet d'une première lentille. L'écran est quant à lui dans le plan focal image d'une seconde lentille. Lorsque les tubes  $T_1$  et  $T_2$  sont remplis d'air, le montage est symétrique, et on observe une frange brillante au centre de l'écran. La longueur des deux tubes est  $\ell = 20$  cm.  $T_2$  étant toujours rempli d'air, on fait progressivement le vide dans  $T_1$ . Expliquer pourquoi les franges d'interférences défilent sur l'écran. Dans quel sens? Pendant le pompage, 98 franges brillantes défilent en  $F'$ , et, lorsque le vide est établi, on observe en  $F'$  une frange sombre. En déduire l'indice de l'air.

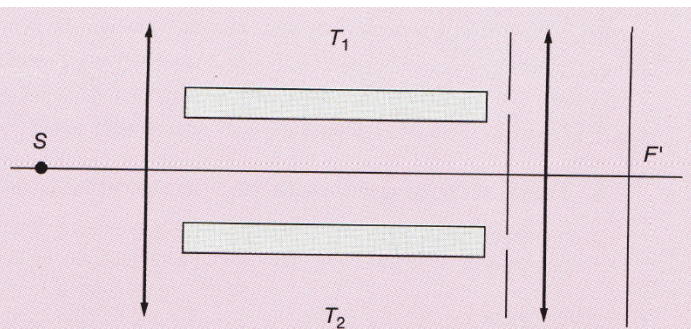
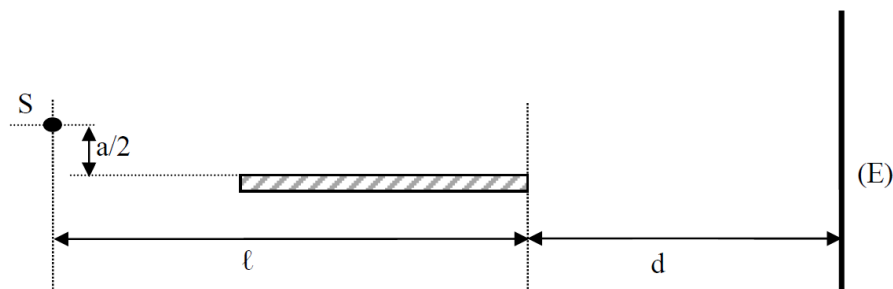


Figure 21

## 4 Miroir de Lloyd

On considère un miroir plan éclairé sous incidence rasante par une source S monochromatique de longueur d'onde  $\lambda$  et on s'intéresse à la figure recueillie sur l'écran (E) (cf figure). Cette expérience est appelée « Miroir de Lloyd ». On indique que la réflexion sur un miroir provoque un déphasage supplémentaire de  $\pi$  de l'onde (équivalent donc à une différence de marche supplémentaire de  $\lambda/2$ ).

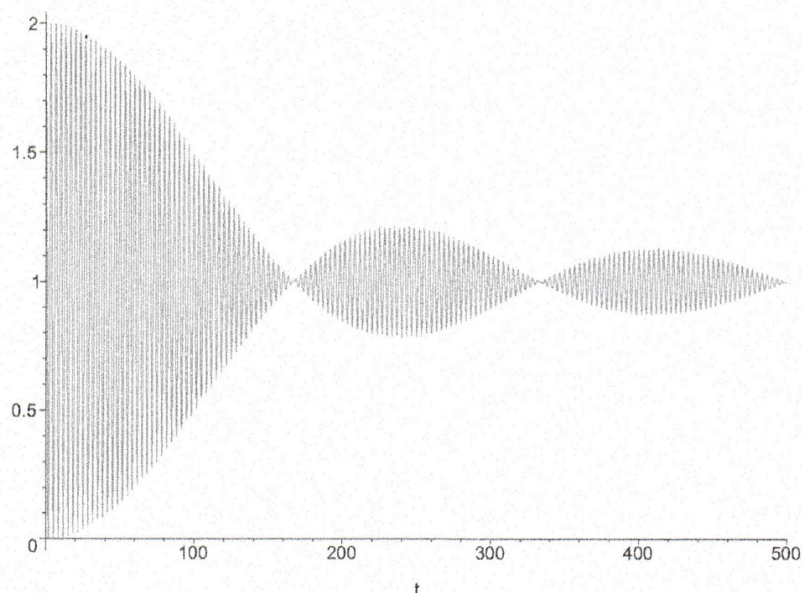


1. Expliquer pourquoi on observe des interférences, faire apparaître la zone d'interférence sur le dessin, ainsi que les deux sources secondaires (sources cohérentes dont semblent provenir les deux rayons interférant). Les interférences sont-elles localisées ?
2. Représenter maintenant les deux rayons qui interfèrent en un point M de l'écran. Déterminer la différence de marche totale entre ces deux rayons  $\delta(M)$ , l'ordre d'interférences  $p(M)$ , ainsi que le déphasage  $\phi(M)$ . En déduire l'interfrange  $i$ .
3. En déduire l'expression de l'intensité sur l'écran. Quelle est la forme géométrique des franges d'interférences ? Peut-on remplacer la source ponctuelle par une fente lumineuse allongée dans la direction orthogonale au plan de la figure sans dégrader la visibilité des franges ?
4. On remplace S par une fente perpendiculaire au plan de la figure, centrée en S, de largeur  $b$ . En utilisant le critère semi-quantitatif de visibilité de franges, estimer l'extension spatiale de la figure d'interférences où les franges restent visibles. On l'exprimera en fonction de  $i$ ,  $a$  et  $b$ .

## 5 Mesure d'une largeur spectrale (\*\*)

Considérons une source ponctuelle dont le spectre est constitué d'une raie de longueur d'onde moyenne  $\lambda_0 = 668 \text{ nm}$  et de largeur  $\Delta\lambda$ . Elle éclaire un dispositif de trous d'Young dont la distance  $a(t)$  varie en fonction du temps :  $a(0) = 0$  et  $da/dt = V_0 = 100 \mu\text{m}\cdot\text{s}^{-1}$ . L'écran est à distance  $D = 5,00 \text{ m}$ . On place un capteur sur l'écran en un point M à distance  $x = 1,0 \text{ cm}$  du centre. Le graphe suivant présente l'intensité lumineuse reçue par le capteur en fonction du temps en secondes.

Déterminer une estimation de la largeur spectrale  $\Delta\lambda$ .



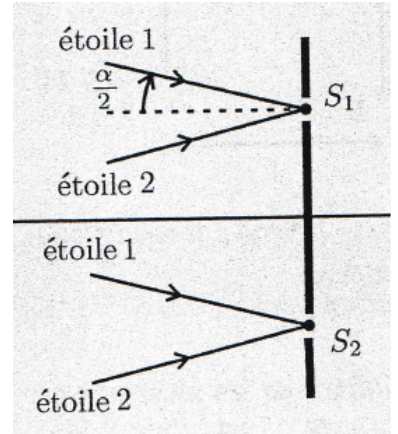
## 6 Mesure de $a$ à partir du spectre cannelé (\*\*)

On éclaire en lumière blanche deux trous d'Young distants de  $a$ . La source ponctuelle  $S$  est à égale distance des trous. L'écran est à  $D = 2,50$  m du plan des trous. On place un spectromètre au point  $M$  de l'écran à  $x = 1,5$  cm du centre. On observe 17 cannelures dans l'intervalle  $[400 \text{ nm}, 800 \text{ nm}]$ . On assimile l'indice de l'air à 1. Déterminer l'intervalle des valeurs possibles de  $a$ .

## 7 Distinction d'une étoile double par des trous d'Young (\*\*)

On considère deux étoiles similaires vues depuis la Terre sous un angle  $\alpha$ . Le lumière provenant de cette paire d'étoile est filtrée à  $\lambda = 635 \text{ nm}$  puis diffractée par des trous d'Young distants de  $a$  et on observe sur un écran à distance  $D$ .

1. Pour chaque étoile, exprimer l'ordre d'interférence  $p(M)$  sur l'écran.
2. En visant l'étoile double Capella de la constellation du Cocher, des astronomes ont observé une première annulation de contraste des interférences pour  $a = 1,16$  m. En déduire l'angle  $\alpha$  à l'aide du critère semi-qualitatif de brouillage des franges.
3. Expliquer l'intérêt de cette méthode interférométrique par rapport à une observation directe sachant que la turbulence atmosphérique limite la résolution angulaire à environ  $1''$  Rappel :  $1^\circ = 60'$  et  $1' = 60''$ .



## 8 Bientilles de Billet (\*\*)

On considère une lentille convergente  $\mathcal{L}$  de distance focale  $f' = 20$  cm. On place une source ponctuelle monochromatique  $S$  de longueur d'onde  $\lambda = 500 \text{ nm}$  sur l'axe de la lentille, à 60 cm de son centre, orthogonalement au plan de la figure.

1. Donner la position de l'image  $S'$  de  $S$ . Que vaut le grandissement?
2. Retrouver la position de  $S'$  par une construction géométrique.

La lentille est sciée en deux parties identiques qu'on éloigne l'une de l'autre d'une distance  $\varepsilon = 2$  mm. On place un cache entre les deux demi-lentilles ainsi obtenues. On note  $O_1$  et  $O_2$  les centres optiques respectifs des demi-lentilles supérieure et inférieure (cf. figure 2.47).

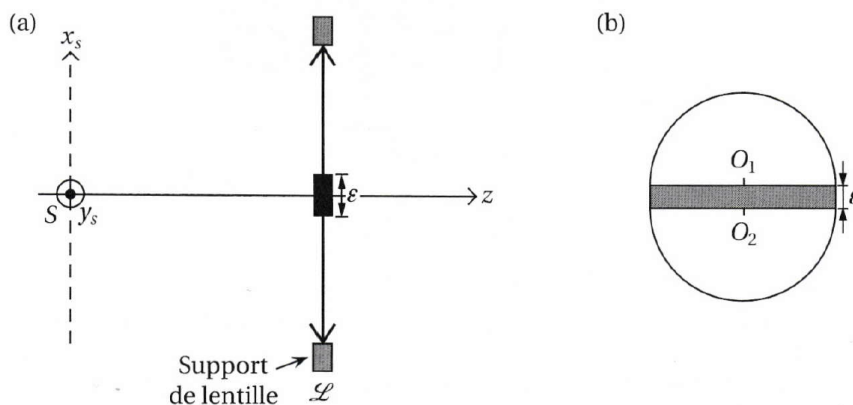


Figure 2.47. (a) Montage optique utilisant une bientille de Billet. (b) Bientille de Billet vue de face.

3. Déterminer les nouvelles images de  $S$ , notées  $S_1$  et  $S_2$ , et calculer la distance  $a = S_1S_2$ .
4. On place un écran à une distance  $D = 3,0$  m de la lentille, grande devant  $f'$ . Décrire ce que l'on observe sur l'écran. Déterminer l'intensité en un point  $M$  de l'écran, en fonction de  $x$ , distance de  $M$  à l'axe passant par  $S$ .
5. Représenter sur un dessin le champ d'interférences.
6. Quel est le nombre de franges observables?
7. Que se passe-t-il si l'on utilise une source de la forme d'une fente fine étendue dans la direction :
  - a. parallèle à  $(Sx_s)$ ?
  - b. parallèle à  $(Sy_s)$ ?